

<sup>82</sup>Se(<sup>18</sup>O,4n $\gamma$ ) 2000Ch42

Type	Author	History	Citation	Literature Cutoff Date
Full Evaluation	D. Abriola(a), A. A. Sonzogni		NDS 109,2501 (2008)	1-Apr-2008

E=60 MeV. Measured E $\gamma$ , I $\gamma$ ,  $\gamma\gamma$ ,  $\gamma\gamma(t)$  and  $\gamma\gamma(\theta)$ (DCO), using an array of 10 Compton-suppressed HPGe detectors along with 14 BGO detectors serving as a multiplicity filter. Comparisons of level scheme made with shell-model calculations.

<sup>96</sup>Mo Levels

E(level) <sup>†</sup>	J $\pi$ &	E(level) <sup>†</sup>	J $\pi$ &	E(level) <sup>†</sup>	J $\pi$ &	E(level) <sup>†</sup>	J $\pi$ &
0 <sup>‡</sup>	0 <sup>+</sup>	2712.06 19		4244.41 <sup>#</sup> 23	10 <sup>+</sup>	6413.8 <sup>@</sup> 3	15 <sup>+</sup>
778.10 <sup>‡</sup> 10	2 <sup>+</sup>	2733.7 4	5 <sup>+</sup>	4532.2 3	11 <sup>+</sup>	6709.1 4	15 <sup>+</sup>
1497.73 19	2 <sup>+</sup>	2754.49 19	6 <sup>+</sup>	4582.89 23	12 <sup>+</sup>	7504.8 <sup>@</sup> 7	17 <sup>+</sup>
1627.76 <sup>‡</sup> 14	4 <sup>+</sup>	2977.74 <sup>‡</sup> 18	8 <sup>+</sup>	4794.41 <sup>@</sup> 22	11 <sup>+</sup>	7553.5 5	
1869.74 17	4 <sup>+</sup>	3369.31 20	8 <sup>+</sup>	5131.50 <sup>#</sup> 24	12 <sup>+</sup>	8423.3 <sup>@</sup> 7	19 <sup>+</sup>
1978.42 19	3 <sup>+</sup>	3471.90 22	7 <sup>+</sup>	5640.0 3	13 <sup>+</sup>	9466.2 9	20 <sup>+</sup>
2437.96 20	5 <sup>+</sup>	3786.29 21	10 <sup>+</sup>	5653.91 <sup>@</sup> 23	13 <sup>+</sup>	9881.7 13	
2440.15 <sup>‡</sup> 17	6 <sup>+</sup>	3914.97 21	9 <sup>+</sup>	5810.7 <sup>#</sup> 3	14 <sup>+</sup>		

<sup>†</sup> From least-squares fit to E $\gamma$ 's.

<sup>‡</sup> Band(A): g.s. sequence.

<sup>#</sup> Band(B):  $\gamma$ -sequence based on 10<sup>+</sup>.

<sup>@</sup> Band(C):  $\gamma$ -sequence based on 11<sup>+</sup>.

& Author's values, based on DCO, band patterns.

$\gamma$ (<sup>96</sup>Mo)

DCO ratios are from  $\Delta J=2$ , quadrupole gated transitions, except where noted otherwise.

E $\gamma$	I $\gamma$ <sup>†</sup>	E <sub>i</sub> (level)	J $\pi$ <sub>i</sub>	E <sub>f</sub>	J $\pi$ <sub>f</sub>	Mult.	$\delta$	Comments
108.8 5	0.5 1	1978.42	3 <sup>+</sup>	1869.74	4 <sup>+</sup>			
170.8 1	6.7 3	5810.7	14 <sup>+</sup>	5640.0	13 <sup>+</sup>	M1		DCO=1.92 7.
223.2 1	<2.8 <sup>‡</sup>	2977.74	8 <sup>+</sup>	2754.49	6 <sup>+</sup>			
242.0 1	1.1 <sup>‡</sup> 1	1869.74	4 <sup>+</sup>	1627.76	4 <sup>+</sup>			
271.9 1	1.6 <sup>‡</sup> 1	2712.06		2440.15	6 <sup>+</sup>			
314.3 2	0.8 <sup>#</sup> 1	2754.49	6 <sup>+</sup>	2440.15	6 <sup>+</sup>			
316.4 2	0.8 <sup>#</sup> 1	2754.49	6 <sup>+</sup>	2437.96	5 <sup>+</sup>			
350.6 2	0.5 1	1978.42	3 <sup>+</sup>	1627.76	4 <sup>+</sup>			
372.0 1	1.6 <sup>‡</sup> 2	1869.74	4 <sup>+</sup>	1497.73	2 <sup>+</sup>			
391.5 1	9.2 <sup>‡</sup> 1	3369.31	8 <sup>+</sup>	2977.74	8 <sup>+</sup>	M1+E2	-0.8 +4-3	DCO=1.33 18 ( $\Delta J=1$ , gated).
443.1 1	7.7 <sup>‡</sup> 1	3914.97	9 <sup>+</sup>	3471.90	7 <sup>+</sup>	E2		DCO=0.92 8.
459.5 1	2.1 <sup>‡</sup> 2	2437.96	5 <sup>+</sup>	1978.42	3 <sup>+</sup>			
508.5 3	1.3 <sup>‡</sup> 1	5640.0	13 <sup>+</sup>	5131.50	12 <sup>+</sup>			
522.4 1	2.1 3	5653.91	13 <sup>+</sup>	5131.50	12 <sup>+</sup>			
537.6 1	37.3 1	2977.74	8 <sup>+</sup>	2440.15	6 <sup>+</sup>	E2		DCO=0.96 4.
545.6 1	26.9 1	3914.97	9 <sup>+</sup>	3369.31	8 <sup>+</sup>	M1		DCO=1.78 4.
550.0 1	1.9 1	4794.41	11 <sup>+</sup>	4244.41	10 <sup>+</sup>	M1		DCO=1.8 3.
679.2 2	2.5 1	5810.7	14 <sup>+</sup>	5131.50	12 <sup>+</sup>	E2		DCO=1.42 3.
719.4 4	1.4 <sup>‡</sup> 1	1497.73	2 <sup>+</sup>	778.10	2 <sup>+</sup>			

Continued on next page (footnotes at end of table)

$^{82}\text{Se}(^{18}\text{O},4n\gamma)$  **2000Ch42 (continued)** $\gamma(^{96}\text{Mo})$  (continued)

$E_\gamma$	$I_\gamma^\dagger$	$E_i(\text{level})$	$J_i^\pi$	$E_f$	$J_f^\pi$	Mult.	$\delta$	Comments
738.3 4	10.7 3	3471.90	7 <sup>+</sup>	2733.7	5 <sup>+</sup>	E2		$I_\gamma$ : $I_\gamma(738)/I_\gamma(1032)=1$ in table 3 of <b>2000Ch42</b> , based on $\gamma\gamma$ data. DCO=1.15 15.
745.9 2	6.9 3	4532.2	11 <sup>+</sup>	3786.29	10 <sup>+</sup>	M1+E2	+0.18 +5-4	DCO=1.31 9.
759.9 1	23.6 2	6413.8	15 <sup>+</sup>	5653.91	13 <sup>+</sup>	E2		DCO=1.05 3.
778.1 1	100.0	778.10	2 <sup>+</sup>	0	0 <sup>+</sup>	E2		$I_\gamma$ : contamination from $^{97}\text{Mo}$ is <0.1%. DCO=0.96 4.
796.6 1	8.6 3	4582.89	12 <sup>+</sup>	3786.29	10 <sup>+</sup>	E2		DCO=1.02 5.
808.6 1	30.6 1	3786.29	10 <sup>+</sup>	2977.74	8 <sup>+</sup>	E2		DCO=1.10 3.
812.4 1	84.6 1	2440.15	6 <sup>+</sup>	1627.76	4 <sup>+</sup>	E2		DCO=1.10 4.
844.3 2	2.9 2	7553.5		6709.1	15 <sup>+</sup>			
849.7 1	94.5 2	1627.76	4 <sup>+</sup>	778.10	2 <sup>+</sup>	E2		DCO=1.1 2.
859.5 1	26.9 2	5653.91	13 <sup>+</sup>	4794.41	11 <sup>+</sup>	E2		DCO=0.96 3.
875.0 3	4.9 <sup>‡</sup> 1	4244.41	10 <sup>+</sup>	3369.31	8 <sup>+</sup>			
879.4 1	27.5 3	4794.41	11 <sup>+</sup>	3914.97	9 <sup>+</sup>	E2		DCO=1.04 3.
886.8 4	1.9 <sup>‡</sup> 3	5131.50	12 <sup>+</sup>	4244.41	10 <sup>+</sup>	E2		DCO=0.92 14.
898.4 3	4.7 <sup>‡</sup> 7	6709.1	15 <sup>+</sup>	5810.7	14 <sup>+</sup>	M1+E2	-0.18 7	DCO=2.2 2.
918.5 2	12.9 <sup>‡</sup> 1	8423.3	19 <sup>+</sup>	7504.8	17 <sup>+</sup>	E2		DCO=1.07 5.
929.4 4	31.8 1	3369.31	8 <sup>+</sup>	2440.15	6 <sup>+</sup>	E2		DCO=0.92 3.
1009.0 5	1.8 <sup>‡</sup> 3	4794.41	11 <sup>+</sup>	3786.29	10 <sup>+</sup>			
1032.2 5	4.7 <sup>‡</sup> 5	3471.90	7 <sup>+</sup>	2440.15	6 <sup>+</sup>	M1		DCO=1.88 24.
1042.9 6	3.3 <sup>‡</sup> 5	9466.2	20 <sup>+</sup>	8423.3	19 <sup>+</sup>	(M1)		DCO=1.05 10 ( $\Delta J=1$ , gated). DCO=1.79 16.
1057.1 3	6.7 4	5640.0	13 <sup>+</sup>	4582.89	12 <sup>+</sup>	M1+E2	+0.12 +8-6	DCO=1.42 9.
1091.0 6	14.7 6	7504.8	17 <sup>+</sup>	6413.8	15 <sup>+</sup>	E2		DCO=1.05 4.
1091.4 6	6.3 6	1869.74	4 <sup>+</sup>	778.10	2 <sup>+</sup>			
1106.2 5	2.8 2	2733.7	5 <sup>+</sup>	1627.76	4 <sup>+</sup>			
1126.8 6	1.9 3	2754.49	6 <sup>+</sup>	1627.76	4 <sup>+</sup>			
1200.1 3	1.7 8	1978.42	3 <sup>+</sup>	778.10	2 <sup>+</sup>			
1202.8 3	<0.4	3914.97	9 <sup>+</sup>	2712.06				
1266.6 6	1.9 3	4244.41	10 <sup>+</sup>	2977.74	8 <sup>+</sup>	E2		DCO=1.22 12.
1345.6 7	3.7 2	5131.50	12 <sup>+</sup>	3786.29	10 <sup>+</sup>			
1458.4 11	0.7 1	9881.7		8423.3	19 <sup>+</sup>			

<sup>†</sup> From singles data at 51°, unless otherwise stated.

<sup>‡</sup> Estimated from coincidence spectra.

# For 314.3+316.4, from  $\gamma\gamma$  coin spectra.

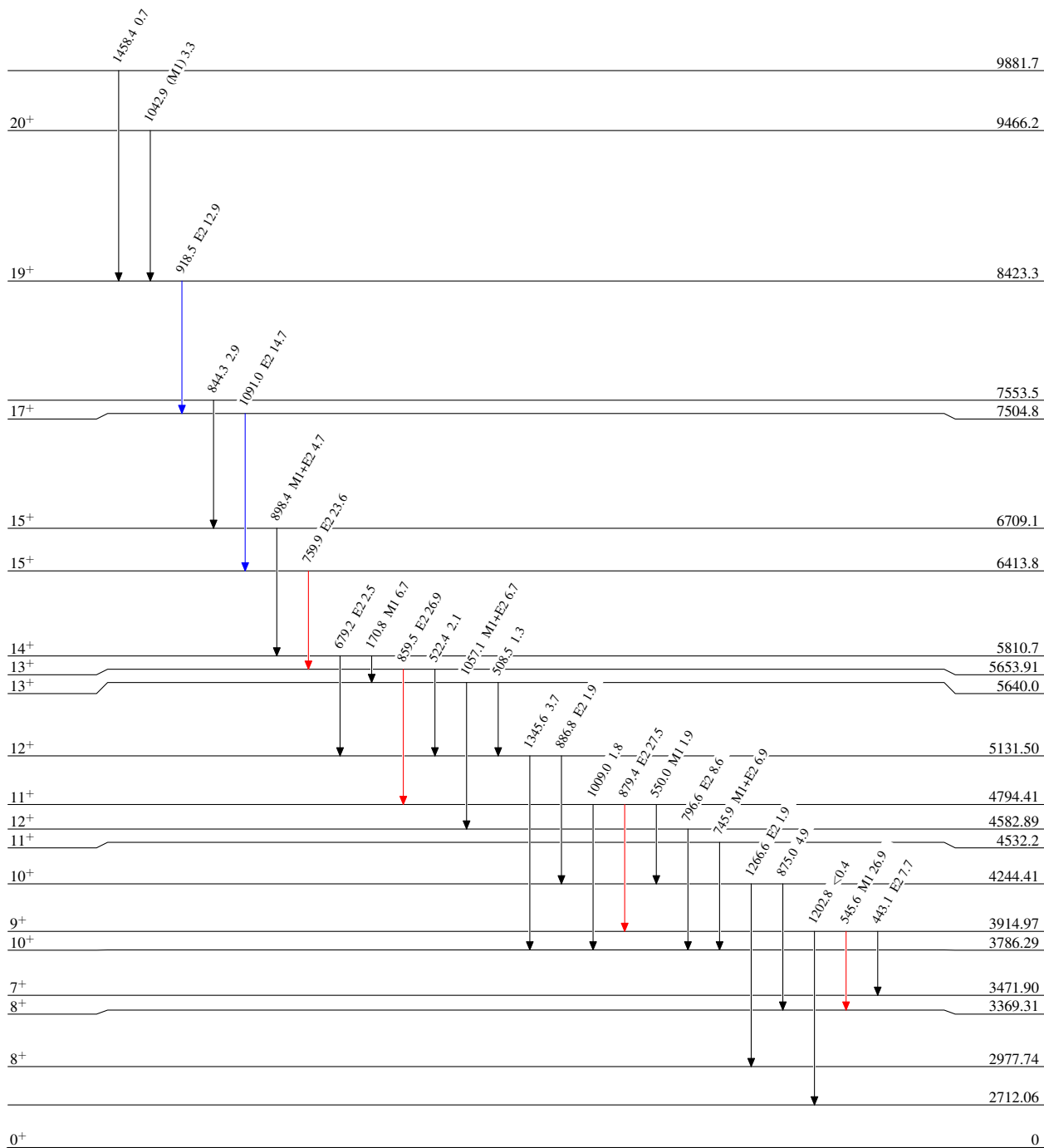
$^{82}\text{Se}(^{18}\text{O},4n\gamma)$  2000Ch42

Level Scheme

Intensities: Relative  $I_\gamma$

Legend

- $I_\gamma < 2\% \times I_\gamma^{max}$
- $I_\gamma < 10\% \times I_\gamma^{max}$
- $I_\gamma > 10\% \times I_\gamma^{max}$



$^{96}_{42}\text{Mo}_{54}$

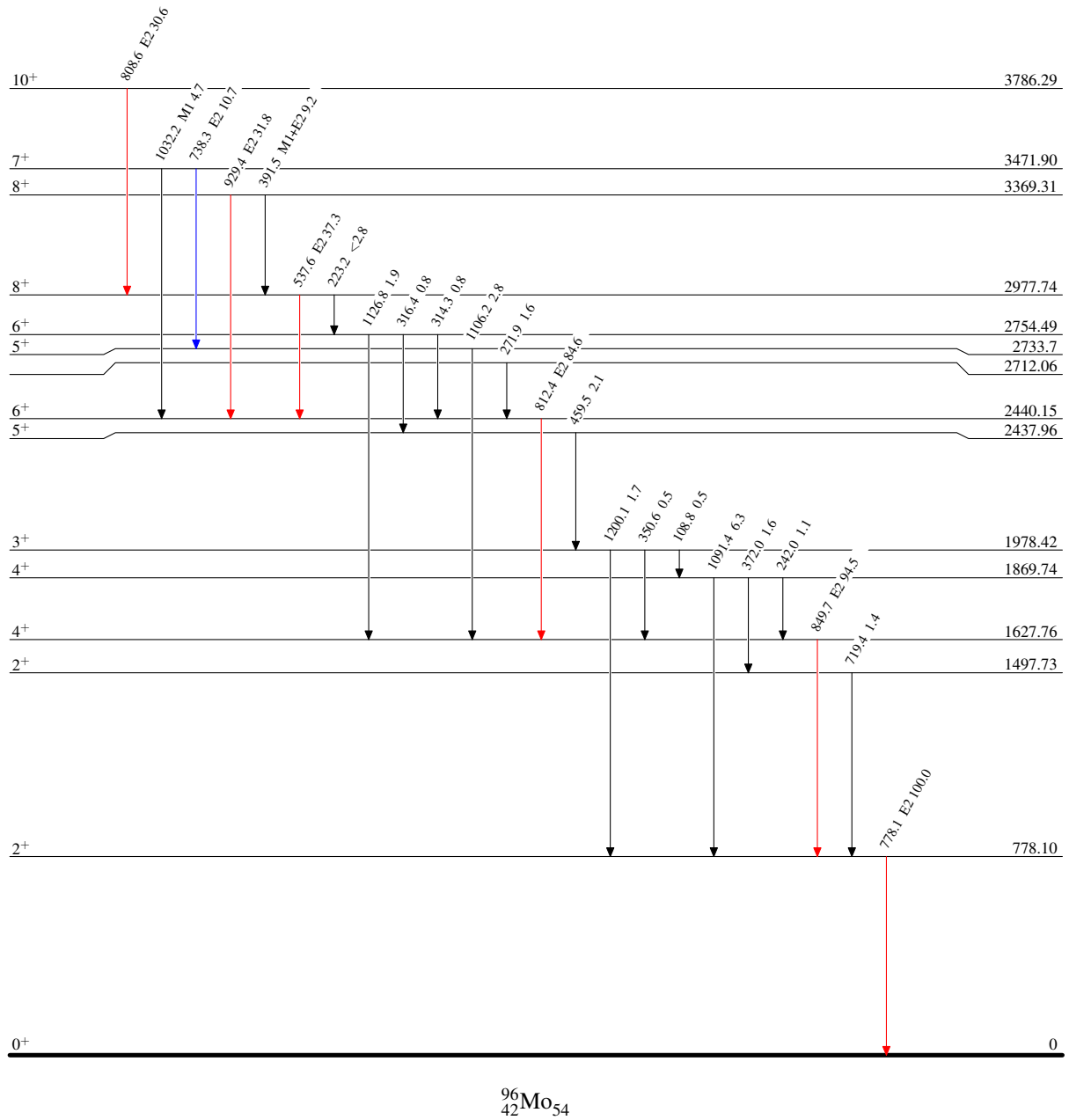
$^{82}\text{Se}(^{18}\text{O},4n\gamma)$  2000Ch42

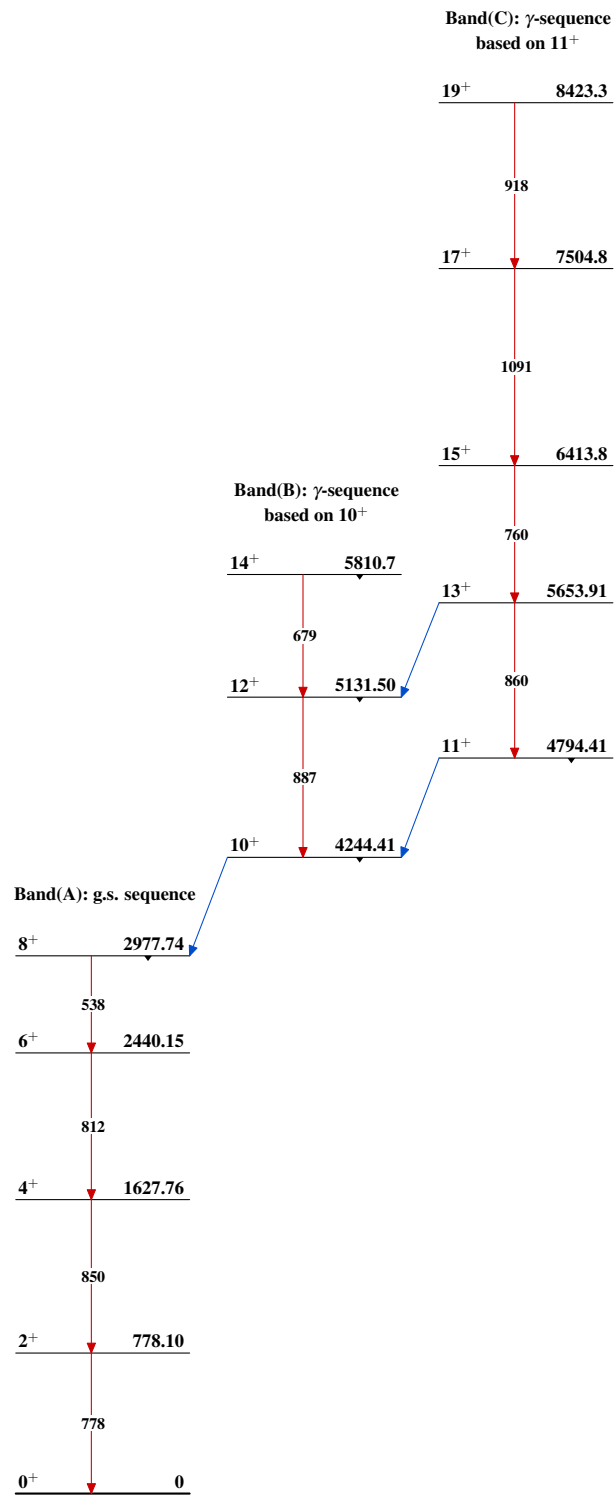
## Level Scheme (continued)

Intensities: Relative  $I_\gamma$ 

## Legend

- $I_\gamma < 2\% \times I_\gamma^{\max}$
- $I_\gamma < 10\% \times I_\gamma^{\max}$
- $I_\gamma > 10\% \times I_\gamma^{\max}$

 $^{96}_{42}\text{Mo}_{54}$

$^{82}\text{Se}(^{18}\text{O},4n\gamma)$  2000Ch42 $^{96}_{42}\text{Mo}_{54}$